

京都大学衛生工学教室 藤木 修(学)、高木興一(正)、山本剛夫(正)

1. はしがき 右図Fig. 1が示すように、等音響パワー( $PWL = 0 \text{ dB}$ )の点音源とみなされる車が無限に長い一直線道路上を、車頭間隔が平均 $S(m)$ の指數分布をするような状態で走行している、いわゆる指數分布モデルについては、われわれは、既に多くの検討を行なってきたが<sup>1)</sup>、ここでは、観測点における音圧レベルの確率密度曲線を、従来とは異なる新しい近似理論式、及び厳密解の数値積分によって求めたので、その結果を報告する。

2. 音圧レベルの近似確率密度関数 各音源のパワーレベルが $0(\text{dB})$ の指數分布モデルの音の強さ $I$ は、Fig. 1を参照して

$$I = \sum_{z=-\infty}^{\infty} \frac{1}{4\pi} \frac{1}{d^2 + z^2} \quad \cdots \cdots (1)$$

と表され、 $I$ は確率変数と考えることができる。 $I$ の特性関数を $\varphi(u) = e^{K(u)}$ とおくと

$$K(u) = \frac{d\pi}{S} \sum_{n=1}^{\infty} \frac{(2n-3)!!}{(2n-2)!!} \frac{1}{n!} \left( \frac{iu}{4\pi d^2} \right)^n \quad \cdots \cdots (2)$$

となることがわかっている。今、この $K(u)$ を次のような式 $K_1(u)$ で近似する。

$$K_1(u) = \frac{iu}{4ds} \left( 1 - \frac{iu}{4ad^2} \right)^{-\frac{1}{2}}, \quad a = \begin{cases} 4/\pi & (d/S \leq 0.2) \\ 2 & (d/S > 0.2) \end{cases} \quad \cdots \cdots (3)$$

$K_1(u)$ は、(2)式の“ $n!$ ”の部分を“ $a^n$ ”で置き換えることによって得られるもので、(i)  $d \rightarrow 0$ 、及び $d \rightarrow \infty$ では $K_1(u) \rightarrow K(u)$ 、(ii)  $e^{K_1(u)}$ のフーリエ変換が可能である、(iii) 両者から求まる音の強さの平均値は一致し、分散も一致するか、近い値となる、という3つの条件を満足している。 $e^{K_1(u)}$ をフーリエ変換した後、指數変換を施して、音圧レベル $X (= 10 \log_{10} I)$ の近似確率密度関数 $f_1(X)$ を導出すると

$$f_1(X) = \frac{\ln 10}{40} \frac{\sqrt{a}}{S} 10^{-\frac{X}{20}} \exp \left( -4a\pi d^2 (10^{\frac{X}{10}} - \frac{a\pi}{16S^2} 10^{-\frac{X}{10}}) \right) + \frac{\ln 10}{40} \exp \left( -4a\pi d^2 10^{\frac{X}{10}} \right) \sum_{k=1}^{\infty} \left\{ \frac{4(a\pi)^{\frac{3}{2}} d^2}{S} \right\}^k 10^{\frac{kX}{20}} i^{k-2} \operatorname{erfc} \left( \frac{\sqrt{a\pi}}{45} 10^{-\frac{X}{20}} \right) \quad \cdots \cdots (4)$$

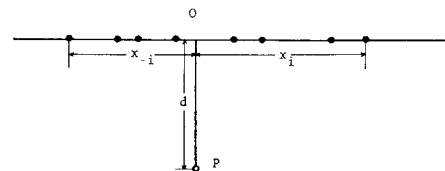
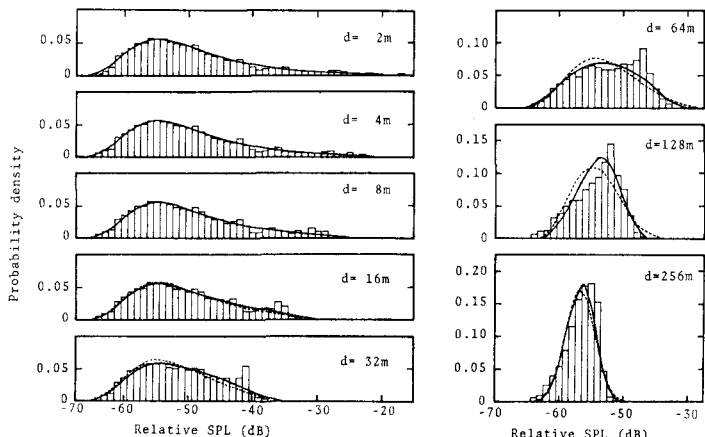


Fig. 1 Single Line Exponentially Distributed Vehicles Model

Fig. 2 Distribution of SPL of an Exponentially Distributed Vehicles Model. ( $S=400\text{m}, PWL=0\text{dB}$ ) Comparison of the results obtained by Monte Carlo Method (histograms) with approximate expressions (curves). Solid lines are from Eq.(4) and broken lines are from the expression of Takagi et al.

となる。ただし

$$i^n \operatorname{erfc} z = \int_z^{\infty} i^{n-1} \operatorname{erfc} t dt, \quad (n=0, 1, 2, \dots) \quad i^{-1} \operatorname{erfc} z = \frac{2}{\sqrt{\pi}} e^{-z^2} \quad \text{----- (5)}$$

である。<sup>2)</sup> Fig. 2は、(4)式の計算の結果と、高木らが以前に導いた近似式<sup>1)</sup>及びモンテカルロシミュレーションの結果とを比較したものである。全体として、(4)式のほうがシミュレーションの結果とよく一致しているが、ヒストグラムに現れる二層性は捉えられている。

### 3. 数値積分による方法

$$K(u) = \frac{i u}{4 d S} \exp\left(\frac{i u}{8 \pi d^2}\right) \left\{ J_0\left(\frac{u}{8 \pi d^2}\right) - i J_1\left(\frac{u}{8 \pi d^2}\right) \right\} \quad \text{----- (6)}$$

のようにも表わされる。(6)式から、音圧レベルの確率密度関数(厳密解) $f(x)$ は

$$f(x) = 8d^2 \left(\frac{\ln 10}{10}\right) 10^{\frac{x}{10}} \int_0^{\infty} \exp\left[\frac{2\pi d}{S} z \{ \cos z J_0(z) - \sin z J_1(z) \}\right] \\ \cdot \cos\left[\frac{2\pi d}{S} z \{ \cos z J_0(z) + \sin z J_1(z) \} - 8\pi d^2 \cdot 10^{\frac{x}{10}} z\right] dz \quad \text{----- (7)}$$

と積分表示される。(7)式の積分を、電算機を用いて数値的に行なって得られた確率密度曲線を、モンテカルロシミュレーションの結果と比較して示したのが、Fig. 3である。図より、車両からの距離 $d$ の値が増大するにしたがい、曲線が二層性から一層性へと変移する様子がわかる。

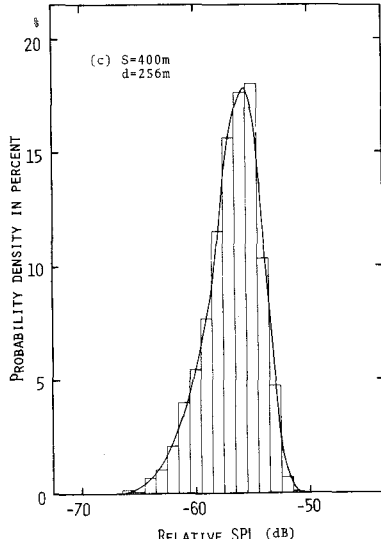
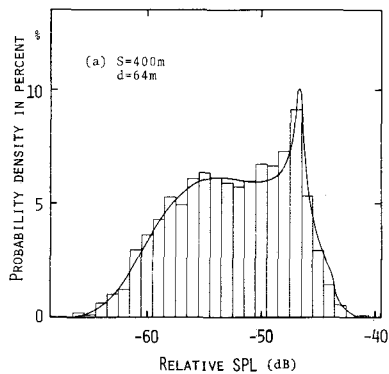
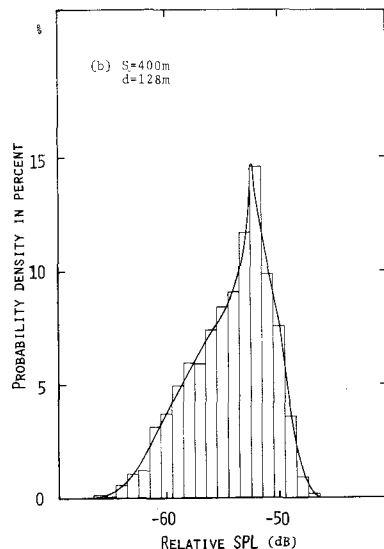


Fig. 3 Distribution of relative SPL (PWL=0dB) of an Exponentially Distributed Vehicles Model. Histograms are obtained from Monte Carlo simulations and curves are from numerical integrations.  
S=400m. (a)d=64m; (b)d=128m; (c)d=256m.

文献: 1) K.Takagi et al.: J. Sound and Vib. 36, 1974

2) Handbook of Mathematical Functions. Dover Pub. INC